# РАДИОГЕННОЕ ТЕПЛО ЗЕМЛИ В ПЕРИОД ЕЕ РОСТА

### В.Н. Сергеев

Федеральное государственное бюджетное учреждение науки Институт динамики геосфер Российской академии наук

Приведены оценки количества тепла Земли, выделяемого в период ее роста (первые 100 млн лет существования) при радиоактивном распаде короткоживущих  $^{26}$ Al,  $^{60}$ Fe и долгоживущих  $^{238}$ U,  $^{235}$ U,  $^{232}$ Th,  $^{40}$ K. Оценки проведены для двух наиболее правдоподобных групп моделей состава Земли: геохимической (за основу взят состав углистых хондритов) и космохимической (основа – состав энстатитовых хондритов).

#### Введение

Энергия распада радиоактивных изотопов является важным источником разогрева земных недр, необходимого для их плавления и дифференциации на железо-никелевое ядро и силикатную мантию. В отличие от ударов планетезималей при формировании Земли, привносящих энергию в ее наружные слои [Печерникова, Витязев, 2005], радиоактивный распад нагревает земные недра во всем объеме Земли.

Для оценки радиогенного тепла Земли в период ее формирования помимо данных, относящихся к распаду радиоактивных изотопов, необходимо знать состав растущей Земли и распространенность радиоактивных изотопов на этот период, а также зависимость массы Земли от времени в период ее роста.

Данные по составу Земли и распространенности радиоактивных изотопов указывают на то, что основной вклад в радиогенное тепло Земли в процессе ее формирования давал радиоактивный распад короткоживущих <sup>26</sup>Al и <sup>60</sup>Fe (в начале роста Земли) и долгоживущих <sup>238</sup>U, <sup>235</sup>U, <sup>232</sup>Th и <sup>40</sup>K (во время всего периода роста Земли). Массовые доли Al, Fe и K в составе растущей Земли можно считать близкими к современным. Распространенность радиоактивных изотопов во время роста Земли вычисляется на основании закона радиоактивного распада. Данные по распространенности короткоживущих изотопов <sup>26</sup>Al и <sup>60</sup>Fe относят ко времени образования Солнечной системы, которым считается время образования CAI (кальций-алюминиевых включений) [Печерникова, Сергеев, 2017], присутствующих в образцах некоторых метеоритов (хондритах). Распространенность долгоживущих радиоактивных изотопов <sup>238</sup>U, <sup>235</sup>U, <sup>232</sup>Th и <sup>40</sup>K вычисляется по данным современной распространенности.

Наиболее правдоподобными из существующих моделей состава Земли представляются геохимическая (за основу взят состав углистых хондритов) и космохимическая (основа — состав энстатитовых хондритов) группы моделей. Данные геохимической и космохимической групп моделей состава современной Земли по содержанию U и Th не противоречат данным регистрации геонейтрино (электронных антинейтрино, рождающихся при распаде радиоактивных изотопов в недрах

Земли) от распадов <sup>238</sup>U и <sup>232</sup>Th [Сергеев, 2014, 2015]. К сожалению, в настоящее время еще не хватает данных регистрации геонейтрино, позволяющих выбрать из двух групп моделей одну наиболее достоверную.

Время формирования Земли по разным моделям [Сафронов, 1969; Витязев и др., 1990; Печерникова, 2005] оценивается в величину порядка 100 млн лет. Однако, зависимости массы Земли от времени в период ее роста различны для разных моделей [Печерникова, 2005; Печерникова, Витязев, 2005]. В настоящей работе используется модель, представленная в [Печерникова, 2005], учитывающая роль крупных тел в формировании Земли.

# Тепло, выделяемое при распаде радиоактивных изотопов в земных недрах

Распад радиоактивных изотопов, дающих основной вклад в радиогенное тепло Земли в период ее роста, до конечных стабильных состояний происходит по следующим схемам для долгоживущих изотопов <sup>238</sup>U, <sup>235</sup>U, <sup>235</sup>Th и <sup>40</sup>K [Dye, 2012]:

$$^{238}U \rightarrow ^{206}Pb + 8 ^{4}He + 6e^{-} + \tilde{v}_{e}$$

$$^{238}U \rightarrow ^{207}Pb + 7 ^{4}He + 4e^{-} + 4\tilde{v}_{e}$$

$$^{232}Th \rightarrow ^{208}Pb + 6 ^{4}He + 4e^{-} + 4\tilde{v}_{e}$$

$$^{40}K \rightarrow ^{40}Ca + e^{-} + \tilde{v}_{e}(89.3\%)$$

$$^{40}K + e^{-} \rightarrow ^{40}Ar + v_{e}(10.7\%)$$
(1)

и для короткоживущих изотопов <sup>26</sup>Al и <sup>60</sup>Fe [Castillo-Rogez et al., 2009]

$$^{26}\text{Al} \rightarrow ^{26}\text{Mg} + e^{+} + \nu_{e} (82\%)$$

$$^{26}\text{Al} + e^{-} \rightarrow 26\text{Mg} + \nu_{e} (18\%)$$

$$^{60}\text{Fe} \rightarrow ^{60}\text{Ni} + 2e^{-} + 2\tilde{\nu}_{e}$$
(2)

Процессы (1) и (2) сопровождаются выделением энергии и рождением электронных нейтрино  $v_e$  или антинейтрино  $\tilde{v}_e$ . В тепло преобразуется не вся выделяемая энергия, некоторая ее часть, равная средней энергии  $v_e$  или  $\tilde{v}_e$  для процесса, уносится электронными нейтрино или антинейтрино. В [Castillo-Rogez et al., 2009] отмечено, что это обстоятельство не всегда учитывается в расчетах, и приводятся ссылки на работы, где допускались эти неточности. Данные по временам полураспада [Audi et al., 2017] и тепловому эффекту процессов (1) [Dye, 2012] и (2) [Castillo-Rogez et al., 2009] представлены в табл. 1.

**Таблица 1.** Времена полураспада и тепловой эффект на один акт распада Q радиоактивных изотопов, дающих основной вклад в радиогенное тепло в период роста Земли

	<sup>238</sup> U	<sup>235</sup> U	<sup>232</sup> Th	<sup>40</sup> K	<sup>26</sup> Al	<sup>60</sup> Fe
$t_{1/2}$ , лет	4.468·10 <sup>9</sup>	$7.04 \cdot 10^8$	1.4·10 <sup>10</sup>	1.248·109	7.17·10 <sup>5</sup>	2.62·10 <sup>6</sup>
Q, 10 <sup>-12</sup> дж	7.648	7.108	6.475	0.110	0.506	0.434

#### Оценка радиогенного тепла Земли в период ее роста

Скорость выделения радиогенного тепла в земных недрах на единицу массы каждого изотопа  $\bar{h}$  определяется формулой [Dye, 2012]:

$$\overline{h} = \frac{N_A \lambda}{\mu} Q \,, \tag{3}$$

где  $N_{\rm A}=6.022\cdot 10^{23}$ моль $^{-1}$  — число Авогадро,  $\mu$  — молярная масса изотопа,  $\lambda=\ln 2/t_{1/2}$  — постоянная распада.

Для скорости выделения радиогенного тепла на единицу массы вещества растущей Земли h(t) имеем:

$$h(t) = \overline{h} A_{iz}(t), \qquad (4)$$

где  $A_{iz}(t)$  — содержание (массовая доля) изотопа в единице массы растущей Земли. За точку отсчета времени  $t_0$  берется время образования САІ. Времена образования САІ, полученные по изотопным данным разными группами исследователей из образцов различных метеоритов разнятся на величину  $\sim 1$  млн лет [MacPherson, 2014]. Имея ввиду, что наименьший период полураспада рассматриваемых изотопов у  $^{26}$ АІ и, следовательно, выбор  $t_0$  наиболее чувствителен для этого изотопа, за время образования САІ берем величину 4567 млн лет, которой соответствует начальная распространенность  $^{26}$ АІ [Jacobsen et al., 2008], используемая в настоящей работе. Данные по распространенности  $^{60}$ Fe также относят ко времени близкому к величине  $t_0$ .

Содержание изотопа  $A_{\rm iz}(t)$  вычисляется согласно закону радиоактивного распада. Для долгоживущих изотопов <sup>238</sup>U, <sup>235</sup>U, <sup>235</sup>U, <sup>235</sup>Th и <sup>40</sup>K имеем

$$A_{iz}(t) = aAe^{(t_0 - t)\lambda}, \qquad (5)$$

и для короткоживущих изотопов <sup>26</sup>Al и <sup>60</sup>Fe

$$A_{ir}(t) = aAe^{-t\lambda}. (6)$$

В формулах (5) и (6) A — содержание элементов U, Th, K, Al и Fe в современной Земле, a в (5) — распространенность изотопа в современной Земле, a в (6) — распространенность изотопа на время образования CAI.

В итоге количество тепла H(t), генерируемое в недрах Земли распадом изотопа в единицу времени в момент времени t, равно:

$$H(t) = h(t)M(t), (7)$$

где M(t) – масса растущей Земли.

В таблице 2 представлены данные по распространенности долгоживущих изотопов <sup>238</sup>U, <sup>235</sup>U, <sup>232</sup>Th и <sup>40</sup>K в современной Земле [Dye, 2012] и короткоживущих <sup>26</sup>Al и <sup>60</sup>Fe в Солнечной системе на время образования CAI [Jacobsen et al., 2008; Tang, Dauphas, 2012]. В настоящей работе используется величина распространенности <sup>60</sup>Fe, гораздо меньшая, чем величины, ранее использовавшиеся во многих работах. Использование такого значения распространенности <sup>60</sup>Fe из [Tang, Dauphas, 2012] вполне оправдано по мнению авторов работы [Davis, McKeegan, 2014].

**Таблица 2.** Распространенность  $\alpha$  в долях от общего количества элементов для долгоживущих изотопов <sup>238</sup>U, <sup>235</sup>U, <sup>232</sup>Th и <sup>40</sup>K в современной Земле и короткоживущих <sup>26</sup>Al и <sup>60</sup>Fe в Солнечной системе на время образования CAI

	<sup>238</sup> U	<sup>235</sup> U	<sup>232</sup> Th	<sup>40</sup> K	<sup>26</sup> A1	<sup>60</sup> Fe
α	0.992796	0.007204	1.000000	0.000117	5.23·10 <sup>-5</sup>	1.15·10 <sup>-8</sup>

Данные по содержанию U, Th, K, Al и Fe в современной Земле согласно геохимическим [McDonough, 2014; Sramek et al., 2013] и космохимическим [Javoy et al., 2010; Sramek et al., 2013] группам моделей представлены в таблице 3.

**Таблица 3.** Содержание U, Th, K, Al и Fe в современной Земле согласно геохимическим  $(A_c)$  и космохимическим  $(A_c)$  группам моделей в процентах от общей массы Земли

	U	Th	K	Al	Fe
A <sub>g</sub> , %	$1.35 \cdot 10^{-6}$	5.4·10 <sup>-6</sup>	$1.9 \cdot 10^{-2}$	1.59	32.0
A <sub>c</sub> , %	$8.1 \cdot 10^{-7}$	$2.9 \cdot 10^{-6}$	$9.9 \cdot 10^{-3}$	0.86	32.8

Время t, за которое Земля достигала массы  $M(t) = z^3 M_{\oplus}$ , определяется из соотношения [Печерникова, 2005]:

$$t = \frac{b\delta r_{\text{max}}}{\sigma_0} \left( \ln \frac{1+z}{1-z} - 0.43 z - 0.04 z^3 \right), \text{ лет}$$
 (8)

где безразмерный параметр b = 0.07,  $\delta$  – средняя за время роста плотность Земли,  $\sigma_0$  – начальная поверхностная плотность твердого вещества в зоне питания Земли,

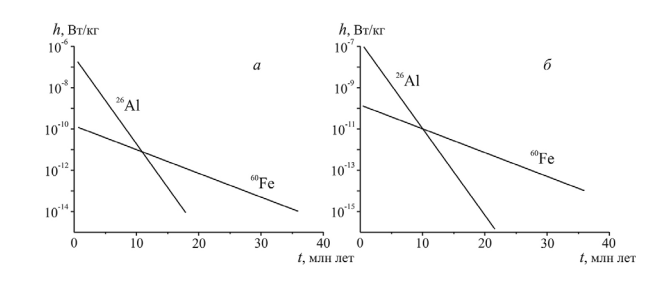
$$r_{\text{max}} = \sqrt[3]{\frac{3M_{\oplus}}{4\pi\delta}}$$

Масса современной Земли  $M_\oplus=5.97219\cdot 10^{24}$  кг. В расчетах использовались значения  $\delta=4.5$  г/см³ и  $\sigma_0=10$  г/см² [Печерникова, 2005].

Вычисляя H(t) по (7) с использованием (3), (4), (5), (8) для  $^{238}$ U,  $^{235}$ U,  $^{232}$ Th и  $^{40}$ K и (3), (4), (6), (8) для  $^{26}$ Al и  $^{60}$ Fe и суммируя H(t) по всем изотопам, получаем оценку скорости выделения радиогенного тепла Земли в период ее роста.

На рис. 1 представлена зависимость скорости выделения радиогенного тепла на единицу массы вещества растущей Земли от времени для короткоживущих изотопов  $^{26}$ Al и  $^{60}$ Fe.

**Рис. 1.** Зависимость скорости выделения радиогенного тепла на единицу массы вещества растущей Земли h от времени t для короткоживущих изотопов  $^{26}$ Al и  $^{60}$ Fe: a геохимическая группа моделей состава Земли,  $\delta$  – космохимическая группа моделей состава Земли



На рис. 2 представлена зависимость скорости выделения радиогенного тепла на единицу массы вещества растущей Земли от времени для долгоживущих изотопов  $^{238}$ U,  $^{235}$ U,  $^{235}$ U,  $^{232}$ Th и  $^{40}$ K.

На рис. 3 представлена зависимость суммарной скорости выделения радиогенного тепла в растущей Земле от времени. На рис. 3 обращает на себя внимание, преобладающий вклад распада короткоживущих изотопов  $^{26}$ Al и  $^{60}$ Fe в радиогенное тепло Земли в первые 10 млн лет ее роста.

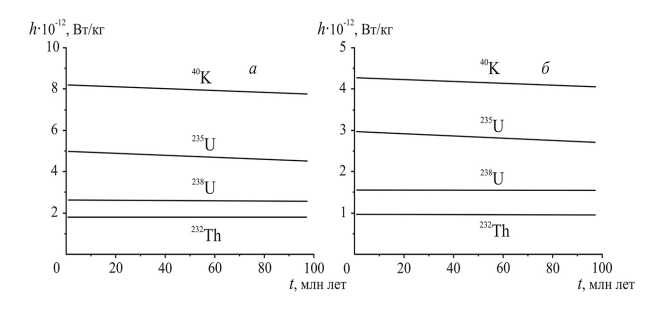
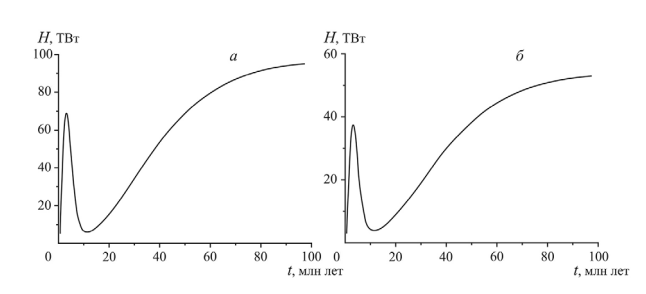


Рис. 2. Зависимость скорости выделения радиогенного тепла на единицу массы вещества растущей Земли h от времени t для долгоживущих изотопов  $^{238}$ U,  $^{235}$ U,  $^{232}$ Th и  $^{40}$ K: a — геохимическая группа моделей состава Земли,  $\delta$  — космохимическая группа моделей состава Земли



**Рис. 3.** Зависимость суммарной скорости выделения радиогенного тепла в растущей Земле H от времени t: a — геохимическая группа моделей состава Земли,  $\delta$  — космохимическая группа моделей состава Земли

#### Заключение

В настоящей работе оценки проводились исходя из усредненного состава Земли. Хотя ядро Земли формировалось в процессе ее роста [Печерникова, Сергеев, 2017] и важную роль играло распределение радиоактивных изотопов в недрах Земли, полученные оценки отражают величину вклада радиогенного тепла Земли в тепловые процессы на стадии роста Земли.

Работа выполнена в рамках Программы 22(1) Президиума РАН «Эволюция органического мира и планетарных процессов».

# Литература

Витязев А.В., Печерникова Г.В., Сафронов В.С. Планеты земной группы: Происхождение и ранняя эволюция. М.: Наука. 1990, -296 с.

Печерникова Г.В. Время роста Земли // ДАН. 2005. Т. 401. № 3. С. 391–394.

*Печерникова Г.В., Витязев А.В.* Импакты и эволюция ранней Земли / Катастрофические воздействия космических тел / Под ред. В.В. Адушкина и И.В. Немчинова. Инсти-тут динамики геосфер РАН. М.: ИКЦ «Академкнига», 2005. С. 251–265.

Печерникова Г.В., Сергеев В.Н. Ранняя стадия возникновения Земли (интервал после возникновения Солнца, формирование жидкого ядра, формирование твердого ядра) / Жизнь и Вселенная. Коллективная монография под ред. В.Н. Обридко и М.В. Рагульской. Москва. 2017. С. 91–98.

Сафронов В.С. Эволюция допланетного облака и образование Земли и планет. М.: Наука, 1969. – 244 с.

Сергеев В.Н. Внутреннее тепло Земли и геонейтрино // Динамические процессы в геосферах. Вып. 6: Сборник научных трудов ИДГ РАН. Москва. ГЕОС. 2014. С. 162—167.

*Сергеев В.Н.* Распределение радиоактивных элементов, определяющих радиогенное тепло Земли, в ее недрах и геонейтрино // Динамические процессы в геосферах. Вып. 7: Сборник научных трудов ИДГ РАН. Москва. ГЕОС. 2015. С. 193–199.

Audi G. et al. The NUBASE2016 evaluation of nuclear properties // Chinese Physics C. 2017, V. 41, No. 3, 030001.

Castillo-Rogez J. et al. <sup>26</sup>Al decay: Heat production and a revised age for Iapetus // Icarus. 2009. V. 204. P. 658–662.

*Davis A.M., McKeegan K.D.* Short-Lived Radionuclides and Early Solar System Chronology / Treatise on Geochemistry 2nd Edition, Editors-in-Chief: Heinrich Holland and Karl Turekian. Elsevier. 2014. V. 1: Meteorites and Cosmochemical Processes. P. 361–395.

*Dye S.T.* Geo–neutrinos and the Radioactive Power of the Earth // Reviews of Geophysics. 2012. 50. RG3007; arXiv: 1111.6099v3 [nucl-ex].

*Javoy M. et al.* The chemical composition of the Earth: Enstatite chondrite models // Earth and Planetary Science Letters. 2010. V. 293. P. 259–268.

*Jacobsen B. et al.*  $^{26}$ Al -  $^{26}$ Mg and  $^{207}$ Pb -  $2^{06}$ Pb systematics of Allende CAIs: Canonical solar initial 26Al/27Al reinstated // Earth and Planetary Science Letters. 2008. V. 272: P. 353–364.

*McDonough W.F.* Compositional Model for the Earth's Core / Treatise on Geochemistry (Second Edition). Editors-in-Chief: H. Holland and K. Turekian. Elsevier. 2014. V. 3: The Mantle and Core. P. 559–577.

*MacPherson G.J.* Calcium-Aluminum-Rich Inclusions in Chondritic Meteorites / Treatise on Geochemistry 2nd Edition, Editors-in-Chief: H. Holland and K. Turekian. Elsevier, 2014, V. 1: Meteorites and Cosmochemical Processes. P. 139–179.

*Sramek O. et al.* Geophysical and geochemical constraints on geo-neutrino fluxes from Earth's mantle // Earth and Planetary Science Letters. 2013. V. 361. P. 356–366; arXiv: 1207.0853v2 [physics.geo-ph].

*Tang H., Dauphas N.* Abundance, distribution, and origin of 60Fe in the solar protoplanetary disk // Earth and Planetary Science Letters. 2012. V. 359–360. P. 248–263.